

## Динамика конструкций и сооружений

### УДАР СТЕРЖНЯ С ОГОЛОВКОМ О ЖЕСТКУЮ ПРЕГРАДУ

П. Ф. САБОДАШ, профессор, д.т.н.,

А.И. ГОЛЫШЕВ, доцент, к.т.н.,

М. М. ТАТАРКИН, стажер

Федеральное государственное бюджетное образовательное учреждение высшего образования Российский государственный аграрный университет – МСХА им. К.А.Тимирязева, Москва

Рассмотрена динамическая задача о распространении волн напряжений при ударе упругого стержня, на свободном конце которого жестко закреплена сосредоточенная масса, об абсолютно жесткую преграду. Предполагается, что после удара стержень «прилипает» к преграде. Задача решается с использованием преобразования Лапласа.

КЛЮЧЕВЫЕ СЛОВА: стержень, оголовок, удар, жесткая преграда, преобразование Лапласа, граничные условия; начальные условия.

Несмотря на кажущуюся простоту, решение динамических задач даже для прямолинейных стержней представляет определенные трудности и привлекает внимание исследователей, поскольку широко встречается в технике [1-5].

Рассмотрим волновые процессы в стержне постоянного поперечного сечения, несущем сосредоточенную массу (оголовок) на неударяемом торце при ударном взаимодействии стержня с жесткой преградой. Метод исследования одномерных неустановившихся задач основан на использовании преобразования Лапласа с параметром  $s$  по времени. Уравнения движения механических систем дополняются нулевыми начальными и соответствующими граничными условиями. Представлены числовые результаты изменения напряженного состояния стержня - осевой удар упругого стержня, несущего на неударяемом торце связанную с ним жесткую массу.

Рассмотрим ударное взаимодействие системы «упругий стержень (ударник) – инерционная масса на неударяемом торце, жестко связанная с ним», при низких скоростях соударения с абсолютно жесткой преградой. На рис. 1, а представлена ситуация до удара (все точки стержня движутся в одном направлении с одинаковой скоростью  $V_0$ ). На рис.1, б показана ситуация после удара (модули и направления скоростей точек стержня зависят от координаты и времени, прошедшего после удара об абсолютно жесткую преграду).

С учетом гипотезы о «прилипании» стержня к жесткой преграде после удара ( $x = 0$ ) формулируются начальные и граничные условия (2,3).

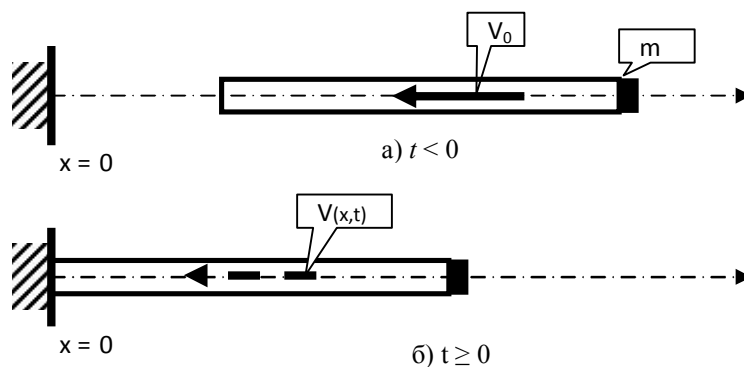


Рис.1

Математическая модель нестационарной задачи для стержня, обладающего вязкоупругими свойствами, в общепринятых обозначениях имеет вид:

$$\left. \begin{aligned} \frac{\partial \sigma_x(x, t)}{\partial x} &= \rho \frac{\partial^2 u(x, t)}{\partial t^2}, \quad 0 < x < l, \quad \forall t > 0 \\ \sigma_x(x, t) &= E \left[ \frac{\partial u(x, t)}{\partial x} - \int_0^t \gamma(t - \tau) \frac{\partial u(x, \tau)}{\partial x} d\tau \right] \end{aligned} \right\}, \quad (1)$$

$$u(x, t) = 0, \quad \frac{\partial u(x, t)}{\partial t} = -V_0 \quad \text{при } t = 0, \quad (2)$$

$$u(x, t) |_{x=0} = 0, \quad m \frac{\partial^2 u(x, t)}{\partial t^2} |_{x=l} = -A \sigma_x(x, t) |_{x=l}. \quad (3)$$

Здесь  $u(x, t)$  и  $\sigma_x(x, t)$  – осевое перемещение плоского поперечного сечения вязкоупругого стержня и напряжение в нем;  $\rho$  – плотность материала;  $E$  – модуль Юнга;  $\gamma(t)$  – вязкоупругое ядро разностного типа;  $l$  – длина стержня;  $A$  – площадь поперечного сечения;  $m$  – масса твердого тела, жестко скрепленная с неударяемым торцом стержня (оголовка);  $V_0$  – скорость осевого удара, вектор  $\vec{V}_0$  которой направлен вдоль оси стержневого элемента.

После применения к уравнениям (1) – (3) одностороннего преобразования Лапласа получаем следующую краевую задачу:

$$\frac{d\bar{\sigma}_x(x, s)}{dx} - \rho s^2 \bar{u}(x, s) = \rho V_0,$$

$$\bar{\sigma}_x(x, t) = E[1 - \bar{\gamma}(s)] \frac{d\bar{u}(x, s)}{dx} = \rho a^2 \frac{d\bar{u}(x, s)}{dx}; \quad a = \sqrt{\frac{E(1 - \bar{\gamma})}{\rho}};$$

$$\bar{u}(x, s) = 0 \quad \text{при } x = 0; \quad m(\bar{u}s^2 + V_0) = -F\bar{\sigma}_x(x, s) \quad \text{при } x = l. \quad (4)$$

где  $s$  – параметр преобразования Лапласа по времени;  $a$  – изображение скорости звука. Общее решение для изображения осевого перемещения имеет следующий вид:

$$\bar{u}(x, s) = C_1 e^{\frac{sx}{a}} + C_2 e^{-\frac{sx}{a}} - V_0/s^2.$$

После определения постоянных интегрирования  $C_1$  и  $C_2$  из граничных условий на концах стержня  $x = 0$ ;  $l$  точное решение в пространстве изображений дается следующей формулой:

$$\bar{u}(x, s) = \frac{V_0}{s^2} \left\{ \frac{1}{\alpha_2 - \alpha_1} \left[ (1 + K) e^{\frac{s(x-l)}{a}} + (K - 1) e^{-\frac{s(x-l)}{a}} \right] - 1 \right\};$$

$$K = \frac{\rho F a}{m s}; \quad \alpha_1 = (1 - K) e^{\frac{s l}{a}}; \quad \alpha_2 = (1 + K) e^{-\frac{s l}{a}}.$$

В качестве ядра наследственности можно выбрать, например, экспоненциальную функцию простейшего вида  $\gamma(t) = b_1 e^{-b_2 t}$ ,  $b_2 > b_1 > 0$ . Параметр  $K$ , представленный в виде  $K = (\rho F l a)(m l s)^{-1}$ , содержит отношение массы стержня  $\rho F l$  к массе оголовка  $m$ , жестко прикрепленного к торцу стержня.

Однако в таком виде при обратном преобразовании Лапласа возникают определенные сложности, поэтому, следуя [2] и используя разложение знаменателя в геометрическую прогрессию, получим точное решение в пространстве изображений (далее считаем стержень упругим телом):

$$\bar{u}_* = \frac{\bar{u}}{l} = \frac{T V_0}{p^2} \left\{ -1 + \sum_{n=0}^{\infty} (-1)^n \left[ \left( \frac{1 - \eta p}{1 + \eta p} \right)^{n+1} (-p(2(n+1) - \bar{x})) + \left( \frac{1 - \eta p}{1 + \eta p} \right)^n \exp(-p(2n + \bar{x})) \right] \right\}$$

$$\bar{\sigma}_* = E \frac{\partial \bar{u}_*}{\partial x} = \frac{T \bar{V}_0}{p} \left\{ \sum_{n=0}^{\infty} (-1)^n \left[ \left( \frac{1 - \eta p}{1 + \eta p} \right)^{n+1} \exp(-p(2(n+1) - \bar{x})) - \left( \frac{1 - \eta p}{1 + \eta p} \right)^n \exp(-p(2n + \bar{x})) \right] \right\},$$

где:  $\eta = m/(\rho a l)$ ;  $T = l/a$ ;  $p = sT$ ;  $\bar{x} = x/l$ ;  $\bar{V}_0 = V_0/a$ . (5)

Здесь:  $T$  – время пробега волной длины стержня,  $\bar{x}$  – относительная координата). При величине относительной присоединенной массе  $\eta = 0$  получаем решение, построенное в работе [2].

Обратное преобразование Лапласа даже такого выражения приводит к громоздким вычислениям, поэтому для получения решения для вязкоупругого тела было решено сначала построить решение для упругого тела. На рис. 2 представлены кривые изменения оригиналов условных напряжений для ударяемого конца ( $\sigma_0$ ), середины ( $\sigma_{05}$ ) и свободного конца ( $\sigma_1$ ) упругого стержня в зависимости от относительного времени (в масштабе  $T$ - времени пробега волны от одного конца стержня до другого) для случая, когда масса груза равна половине массы стержня ( $\eta = 0,5$ ).

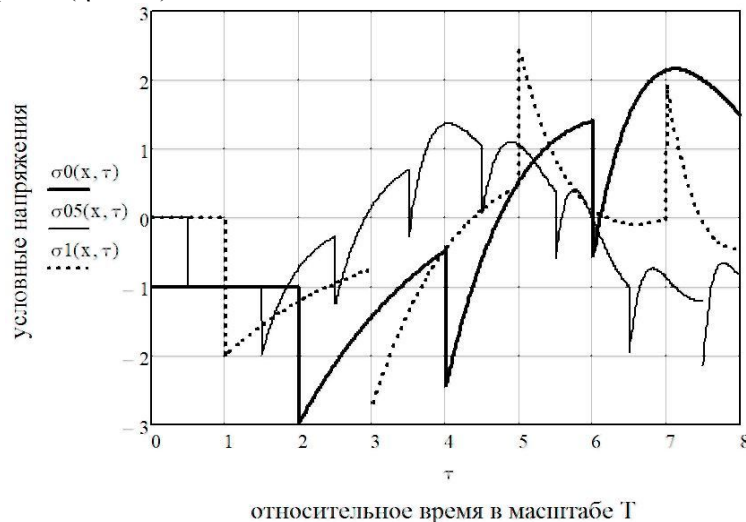


Рис. 2

Фронт ударного сжатия вступает в сечение  $x = \ell/2$  ( $\bar{x} = 1/2$ ) с резким скачком амплитуды напряжения; малые пики соответствуют приходу волны сжатия, отраженной от торцевой массы  $m$  на торце  $x = \ell$ . После чего в сечении  $x = \ell/2$  наступает разгрузка ( $\sigma < 0$ ). Для стержня, выполненного из вязкоупругого материала, при определенных характеристиках вязкоупругих свойств наблюдается незначительное уменьшение амплитуд динамических ударных напряжений.

#### Л и т е р а т у р а

1. Манжосов В. К., Слепухин В.В. Моделирование продольного удара в стержневых системах неоднородной структуры. – Ульяновск : УлГТУ, 2011. – 208 с.
2. Гонсовский В.Л., Мешков С.И., Россихин Ю.А. Удар вязкоупругого стержня о жесткую преграду // Прикладная механика. – 1972. – Т. 8. – Вып. 10. – С. 71 – 76.
3. Сабодаш П.Ф. Удар составного стержня переменной сечения с жесткую преграду // Прикладная механика. – 1976. – Т. 12. – Вып. 3. – С. 84 – 90.
4. Hangkong Xuebao. Impact response of multi-step rods with lumped masses and spring supports//Acta Aeronautica et Astronautica Sinica. – 2008. - Vol. 29, no. 5, pp. 1174–1179.
5. Vikrant R. Hiwarkar, Vladimir I. Babitsky, and Vadim V. Silberschmidt. Vibro-Impact Response of a Cracked Bar// Shock and Vibration. - 2011. - Vol. 18, no. 1-2, pp. 147-156.

References

1. *Manzhosov, V.K., Slepudin, V.V.* (2011). *Modelirovanie Prodol'nogo Udara v Sterzhnevyyh Sistemah Neodnorodnoj Struktury*. Ul'janovsk: UIGTU, 208 p.
2. *Gonsovskij, V.L., Meshkov, S.L., Rossihin, Ju.A.* (1972). Udar vjazkouprugogo sterzhnja o zhestkiju pregradu. *Prikladnaja Mehanika*. Vol. 8, Iss. 10, p.71-76
3. *Sabodash, P.F.* (1976). Udar sostavnogo sterzhnja peremennogo sechenija s zhestkiju pregradu. *Prikladnaja Mehanika*. Vol. 12, Iss. 3, p. 84 – 90.
4. *Hangkong Xuebao* (2008). Impact response of multi-step rods with lumped masses and spring supports. *Acta Aeronautica et Astronautica Sinica*, Vol. 29, no. 5, pp. 1174–1179.
5. *Vikrant R. Hiwarkar, Babitsky, V. I., and Silberschmidt, V.V.* (2011). Vibro-Impact Response of a Cracked Bar. *Shock and Vibration*, Vol. 18, no. 1-2, pp. 147-156.

**IMPACT OF A BAR WITH LUMPED MASS AT RIGID BARRIER**

P.Ph. Sabodash, A.I. Golyshev, M.M. Tatarkin  
*MSHA im. Timiryazeva, Moscow*

A stress wave propagation dynamic problem due to impact of elastic bar at a rigid barrier is considered. It is presumed, that the bar is equipped with a dot mass at free end and «sticks» to rigid barrier after impact. The problem is solved with Laplace transformation.

**KEY WORDS:** bar, lumped mass, impact, rigid barrier, Laplace transformation, boundary conditions, initial conditions

